

# 一种面向 SRAM 型 FPGA 的三模冗余分区自修复方法研究\*

王 鹏, 刘正清, 田 毅

(中国民航大学 适航学院, 天津 300300)

**摘要:** SRAM 型 FPGA 的低成本及其现场可编程性使其在航空航天工业中很受欢迎。为解决 FPGA 受宇宙辐射引起的单粒子效应(Single Event Effect, SEE), 常使用三模冗余(Triple Modular Redundancy, TMR)这一缓解技术。该技术通常与配置刷新技术一起用来加固基于 SRAM 的 FPGA。传统的 TMR 只能针对单个故障提供一次保护, 而将三模冗余结构进行分区可以增强其环境适应性。研究了一种将配置刷新和分区三模冗余结合的方法, 并采用 PRISM 工具进行模型验证, 结果表明该方法可以增强系统的可用性。

**关键词:** 单粒子效应; FPGA; 三模冗余分区; 自修复

中图分类号: TN710

文献标识码: A

DOI: 10.16157/j.issn.0258-7998.200384

中文引用格式: 王鹏, 刘正清, 田毅. 一种面向 SRAM 型 FPGA 的三模冗余分区自修复方法研究[J]. 电子技术应用, 2021, 47(6): 92–95.

英文引用格式: Wang Peng, Liu Zhengqing, Tian Yi. A recovery methodology for SRAM-based FPGA partitioned TMR[J]. Application of Electronic Technique, 2021, 47(6): 92–95.

## A recovery methodology for SRAM-based FPGA partitioned TMR

Wang Peng, Liu Zhengqing, Tian Yi

(College of Airworthiness, Civil Aviation University of China, Tianjin 300300, China)

**Abstract:** SRAM-based FPGAs are popular in the aerospace industry for their field programmability and low cost. However, they suffer from cosmic radiation-induced single event effect(SEE). Triple modular redundancy(TMR) is a well-known technique to mitigate SEEs in FPGAs that is often used with another SEE mitigation technique known as configuration scrubbing. Traditional TMR provides protection against a single fault at a time, while partitioned TMR provides improved availability. A recovery methodology to combine partitioned TMR and configuration scrubbing is presented in this paper, and the results show that the improvement in availability is achieved by the proposed methodology.

**Key words:** single event effect; FPGA; partitioned TMR; recovery

## 0 引言

随着航天技术的蓬勃发展, 航天系统对电子器件的性能要求越来越高。在航天电子设备的设计中, 基于 SRAM 的 FPGA 由于其现场可编程性、维修成本低等优点, 使其比专用集成电路(Application Specific Integrated Circuits, ASICs)更有优势。航天环境中的电子系统设计, 不仅要满足对性能的需求, 数据传输时的可靠性和电子系统的可用性也必须得到保证。暴露在高电磁辐射中, 工作中的电子器件会持续受到高能粒子撞击以致辐射效应, 如单粒子翻转(SEU)等<sup>[1]</sup>, 由辐射引起的单粒子翻转在导致空间环境中电子系统失效的原因中占很大的比例。所以需要提高电路的抗辐射干扰能力。

三模冗余(TMR)是一种广为人知的抗干扰容错技术, 可以对单粒子翻转有较好的容错效果<sup>[2]</sup>。该方法使用 3

个相同的逻辑块同步执行相同的任务, 每个逻辑块相应的输出通过表决器比较并进行多数表决, 进而在一定时期将故障产生的影响屏蔽起来, 使得发生故障的电路依旧可以在一段时间里继续工作。这种方式并未将故障解决, 随着故障的持续增加, 系统仍然有发生失效的可能性。所以如果使三模冗余电路具有一定的自修复能力, 则可提高系统的可用性, 图 1 即为一个标准的 TMR 结构。本文从自修复的角度对传统的三模冗余进行分区改进, 并分析分区和刷新频率对系统可用性带来的影响。

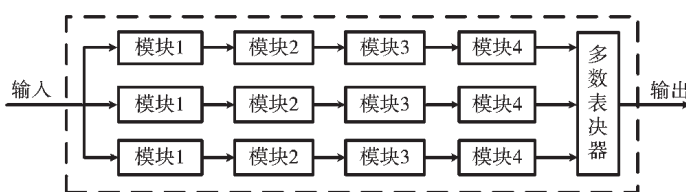


图 1 标准 TMR 结构

\* 基金项目: 中央高校基本科研业务费项目-自然科学类一般项目(3122019165)

## 1 TMR 分区

在基于 SRAM 型 FPGA 中,用户的组合和时序逻辑都是由定制逻辑存储单元实现的,也就是 SRAM 单元。当翻转发生在 FPGA 中的综合组合逻辑中时,它实际对应于 LUT 单元或在控制布线单元的一个位翻转。在 LUT 存储单元翻转意味着组合逻辑发生了改变。影响只能在配置位流的下一次载入时才会被修正。这种翻转的效果与 LUT 定义的组合逻辑的固定故障(1 或 0)相关。这意味着,除非使用一些检测技术,在 FPGA 的组合逻辑发生的翻转将被存储单元锁存。布线的翻转可以连接或断开阵列中线的连接,可能产生有永久的影响,其效果可以映射到 FPGA 实现的组合逻辑的一个开路或短路回路。故障也将在配置位流的下一次加载被修正。

需要注意的是使用 TMR 本身是不够的,为了避免 FPGA 的错误,还要求比特流强制性不断地进行重新加载,这就是所谓的刷新过程。刷新使系统能够修复 SEU 导致的配置存储器的错误而不破坏其操作。在本研究中使用盲刷新(定时刷新)来进行修复 SEU 的操作<sup>[3]</sup>。盲刷新的优势在于可以不用精确定位故障点,减少操作;劣势在于需要将整体目标电路配置全部刷新,如果周期设置得不合理,将大大降低目标电路的使用时间<sup>[4]</sup>。

将两种技术结合可以在容错的基础上增加自修复的能力,将单纯的容错电路转化为可以定时修复故障的容错电路,可以有效减少故障累积。

## 2 模型检测

模型检测是一种成熟的验证技术,用于验证有限状态的系统的正确性<sup>[5]</sup>。给定系统的模型,根据标记的状态转换和与时间逻辑相关的属性进行仿真计算,模型检查算法会遍历系统中有可能出现的所有状态以验证系统的性能。概率模型检查可以对表现出随机行为但状态有限的系统进行建模。在本文中由于需要利用系统的数据流图来进行建模,所以使用具有过渡和状态标签的连续时间马尔科夫模型来进行随机建模。

在本文中将使用 PRISM 验证工具<sup>[6]</sup>来进行建模和分析,文献[7-8]中表明可以使用 PRISM 验证工具进行构建马尔科夫模型。首先对分区三模冗余,使用连续时间马尔科夫链对系统进行建模。然后利用系统的数据流图,对分区数量、刷新频率等参数进行预期。最后使用 PRISM 验证使用概率瞬态逻辑<sup>[9]</sup>表示的与系统可用性相关的属性。

## 3 模型建立及定量分析

### 3.1 模型建立

在本文中选择的待测电路为 FIR 滤波器电路。滤波器通常用于数字通信系统中,例如信号分离、降噪等。对于从卫星到无人飞行任务中的所有航天应用,通信都是一个基本问题,所以数字滤波器在此类系统中非常重要<sup>[10]</sup>。为了说明此方法的适用性,故使用 SCU 模型分析

8 比特 64 抽头 FIR 滤波器,FIR 滤波器在有足够的运算能力的前提下可以无限增加精度<sup>[11]</sup>。N 抽头 FIR 滤波器的离散脉冲响应可以表示为:

$$y[n] = \sum_{i=0}^{N-1} x[n-i] \cdot h[i] \quad (1)$$

其中,  $x[n]$  和  $y[n]$  分别表示输入、输出和单位脉冲响应。

每个分区中的一行模块组合定义为一个域,每个域的故障率即由所有模块的故障率和表决器的故障率加和决定。

$$\lambda_D = \sum \lambda_i + \lambda_{voter} \quad (2)$$

其中,  $\lambda_i$  表示模块  $i$  的故障率,  $\lambda_{voter}$  表示表决器的故障率。

在 TMR 中,虽然同一分区中每个域在物理上是独立的,但故障率相同,所以每个分区的故障率  $\lambda_p$  为:

$$\lambda_p = 3\lambda_D \quad (3)$$

图 2 显示了一个双分区 TMR 数据流图。第二分区中比第一分区多了 3 个表决器,其中每个模块的故障率  $\lambda_m$  为:

$$\lambda_m = \lambda_{bit} \cdot N_{key} \quad (4)$$

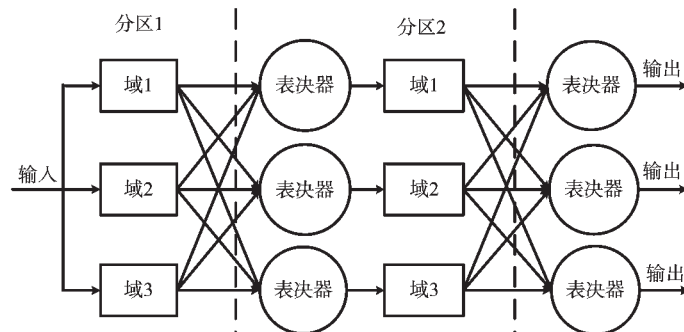


图 2 待测电路双分区三模冗余数据流图

在本文的实验中,  $\lambda_{bit} = 5.79 \times 10^{-13}$  SEUs/bit/s 代表了 30 000 英尺高度 SRAM 芯片 IMS1601 的 SEU 概率<sup>[12-13]</sup>,  $N_{key}$  表示关键比特数量,关键比特数量可以从模块的表征库(Characterization Library)查询到<sup>[14]</sup>。

基于每个域的故障率、用户定义的分区数量和刷新频率,然后构建系统的连续时间马尔科夫模型并使用 PRISM 建模语言进行编码。之后使用 PRISM 模型检查器验证不同的可靠性和可用性属性,根据定量分析的结果来评估系统是否符合要求。

首先从 TMR 的每个分区开始建模,定义一个有  $N$  个分区的系统为:

$$P = \{P_1, P_2, \dots, P_N\} \quad (5)$$

其中,每个  $P_i \in P$  表示一个 TMR 分区。

对于单粒子翻转模型,每个模块的失效是独立的。由于配置 IP(导致单粒子翻转发生)产生的故障时间呈指数分布,假定配置刷新概率也遵循指数分布,即  $\mu = 1/\tau$ ,其中  $\tau$  表示刷新间隔<sup>[15-16]</sup>。

图 3 显示了一个可自动修复 TMR 的马尔科夫模型。最左边的模块表示三模电路有 3 个域正常运行, 此时分区的失效率是  $3\lambda$ ; 中间的有两个域正常运行, 失效率是  $2\lambda$ ; 最右边的只有一个域正常运行, 系统失效。在这个模型中  $\mu$  代表刷新频率。

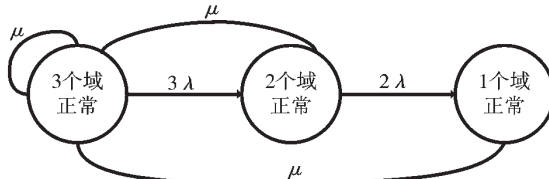


图 3 一个可自动修复三模冗余马尔科夫模型

每个  $P_i \in P$  都可以被描述为一个连续时间马尔科夫模型。定义:

$$M_i^{\text{SCU}} = (S_{\text{scu}}, s_0, \text{TL}_{\text{scu}}, L_{\text{scu}}, R_{\text{scu}}) \quad (6)$$

其中,  $S_{\text{scu}} = \{3, 2, 1\}$ ,  $s_0 = \{3\}$ ,  $\text{TL}_{\text{scu}} = \{3\lambda, 2\lambda, \mu\}$ ,  $L(3) = \{\text{good}\}$ ,  $L(2) =$

$$\{\text{downgraded}\}, L(1) = \{\text{error}\}, R_{\text{scu}} = \begin{bmatrix} R(1, 1) & R(1, 2) & R(1, 3) \\ R(2, 1) & R(2, 2) & R(2, 3) \\ R(3, 1) & R(3, 2) & R(3, 3) \end{bmatrix} =$$

$$\begin{bmatrix} 0 & 0 & \mu \\ 2\lambda & 0 & \mu \\ 0 & 3\lambda & \mu \end{bmatrix}.$$

图 4 显示了一个双分区可自动修复的三模冗余马

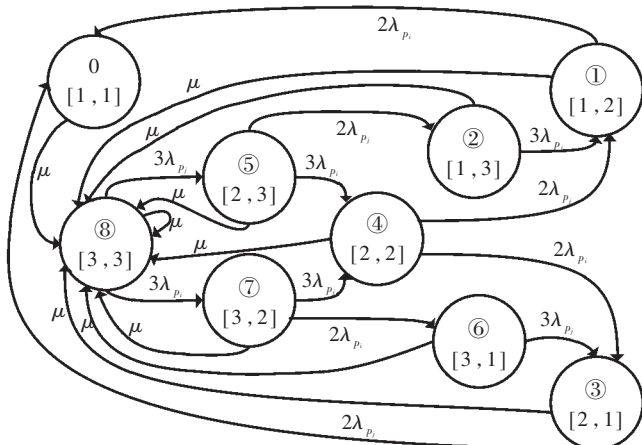


图 4 双分区三模冗余的单粒子翻转马尔科夫模型

尔科夫模型。其中  $\lambda_{p_i}$  和  $\lambda_{p_i}$  分别表示两个分区的失效率。状态 ④, ⑤, ⑦, ⑧ 表示系统可运行; 状态 0, ①, ②, ③ 表示系统失效。系统运行情况可由下式表示:

$$\text{operational} = \begin{cases} 1, L(s)_{p_i} \wedge \dots \wedge L(s)_{p_n} = \text{good} \vee \text{downgraded} \\ 0, \text{其他} \end{cases} \quad (7)$$

在本文的分析中, 生成了 3 种马尔科夫模型, 分别为无分区、双分区和四分区。模型的复杂度从无分区到四分区的总状态数和转换次数随着分区数量的增加而增加, 分区会变得比较复杂, 因为在单独的域中对同步的 SCU 进行建模需要越来越多的转换, 为了能够保持这种建模方式的可管理性, 将每个分区分别作为 PRISM 语言中的模块, 并利用 PRISM 模型检查工具进行模块的并行组合(代表 TMR 分区), 以生成完整的分析模型。表 1 为通过 PRISM 建模及仿真出的模型状态统计。

表 1 模型状态统计

| 分区数量 | 状态数量 | 转换次数 |
|------|------|------|
| 1    | 3    | 5    |
| 2    | 9    | 26   |
| 4    | 81   | 362  |

### 3.2 定量分析

可用性定义为系统正常运行的时间和系统运行的时间的比率。图 5 显示了无分区/双分区/四分区时系统的可用性与不同的刷新间隔之间的关系。在 PRISM 中可以用  $R\{\text{“up_time”}\} = ?[\text{C} \leq \text{T}]/\text{T}$ ,  $\text{T} = 1 \text{ month}$  来做属性检测。评估时将刷新间隔定为 15 min~4 h。从图 5 中可以看出, 当刷新间隔增加时, 系统的可用性降低。然而, 当刷新间隔相同时, 具有更多分区的可用性有着明显的提高, 对于可用性而言, 分区数量对于较长的刷新间隔有着比较重要的影响。例如在刷新间隔为 4.00 h 的时候, 无分区的可用性在 0.975 左右, 双分区的可用性在 0.985 左右, 四分区的可用性则达到了 0.99 以上。由于 TMR, 将面积和功耗至少增加 300%, 频繁的刷新将浪费很多系统资源。

对于这样的情况, 增加分区数量可以提供一个好的解决方案, 而不是更频繁地进行刷新。例如, 如果设计人

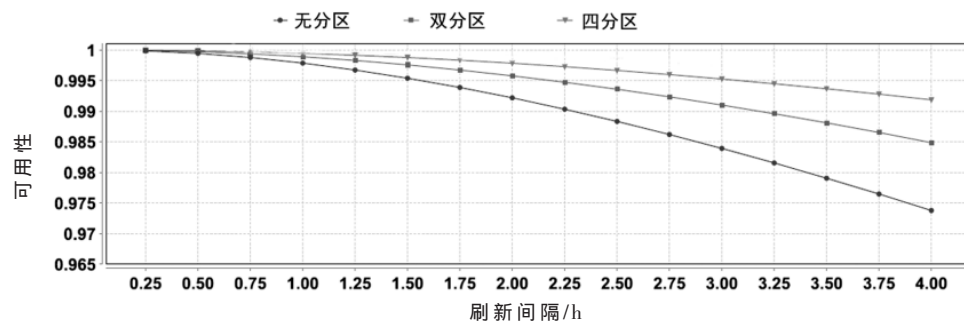


图 5 无分区/双分区/四分区的可用性对比

员的目标是高于 0.99 的可用性，并设计中没有考虑分区，那么设计人员可能会考虑用频繁的刷新来满足一些要求。这时设计人员可以采用多分区的 TMR 来满足需求，从图 5 中可以看到，当系统四分区时，即使刷新间隔延迟 2 h 也可以满足相同的可用性。使用这种方法，设计者可以确定满足给定刷新频率的设计要求的分区数量，反之也同样可以通过分区数量来确定合适的刷新频率。

#### 4 结论

本文针对 SRAM 型 FPGA 的结构特点，将电路分为若干模块，采用三模冗余和配置刷新相结合的方法对电路的性能进行优化，建立模型并用 PRISM 验证工具进行检验。实验结果表明，该设计可以有效提高电路的可用性。在设计系统时，可以综合考虑电路结构、资源分配情况来合理地调整分区数量和刷新间隔，灵活组合，以使电路有更佳的性能。

#### 参考文献

- [1] TABER A , NORMAND E .Single event upset in avionics[J]. IEEE Transactions on Nuclearence , 1993 , 40(2) : 120–126.
- [2] RUGESCU D R , VOINESCU A .Gracefully degrading triple modular redundancy in FPGA design with application to harsh radiation environments[C].2016 15th RoEduNet Conference : Networking in Education and Research.IEEE , 2016.
- [3] ADELL P , ALLEN G , SWIFT G , et al .Assessing and mitigating radiation effects in Xilinx SRAM FPGAs[C].2008 European Conference on Radiation and Its Effects on Components and Systems , 2008 : 418–424.
- [4] PRATT B H , CAFFREY M P , GIBELYOU D , et al .TMR with more frequent voting for improved FPGA reliability[C]. International Conference on Engineering of Reconfigurable Systems & Algorithms.DBLP , 2008.
- [5] CLARKE E M , EMERSON E A , SISTLA A P .Automatic verification of finite-state concurrent systems using temporal logic specifications[J].ACM Transactions on Programming Languages & Systems , 1986 , 8(2) : 244–263.
- [6] PRISM website[EB/OL].[2020-05-12].<http://www.prism-modelchecker.org>.
- [7] HOQUE K A , MOHAMED O A , SAVARIA Y , et al .Early analysis of soft error effects for aerospace applications using probabilistic model checking[C].Communications in Computer & Information Science , 2013 : 54–70.
- [8] HOQUE K A , MOHAMED O A , SAVARIA Y .Formal analysis of SEU mitigation for early dependability and performance analysis of FPGA-based space applications[J].Journal of Applied Logic , 2017 , 25 : 47–68.
- [9] Chen Song , Song Xiaolin .The design of trajectory tracking system of intelligent car based on DSP[J].Chinese Journal of Engineering Design , 2012 , 9(4) : 312–317.
- [10] BRAUN T M .Satellite communications payload and system[M]. John Wiley & Sons , 2012.
- [11] BAIER C , KATOEN J P , HERMANN H .Approximate symbolic model checking of continuous-time Markov chains[C].CONCUR'99 : Concurrency Theory , 10th International Conference , Eindhoven , The Netherlands , 1999.
- [12] TYLKA A , ADAMS J , BOBERG P , et al .CREME96:a revision of the cosmic ray effects on micro-electronics code[J].IEEE Transactions on Nuclear Science , 1997 , 44(6) : 2150–2160.
- [13] YOZA T , WATANABE M .Enhanced radiation tolerance of an optically reconfigurable gate array by exploiting an inversion/non-inversion implementation[C].International Symposium on Applied Reconfigurable Computing , Springer , Cham , 2014.
- [14] SAFARULLA I M , MANILAL K .Design of soft error tolerance technique for FPGA based soft core processors[C]. 2014 International Conference on Advanced Communication, Control and Computing Technologies(ICACCCT).IEEE , 2015.
- [15] HOQUE K A , MOHAMED O A , SAVARIA Y , et al .Probabilistic model checking based DAL analysis to optimize a combined TMR-blind-scrubbing mitigation technique for FPGA-based aerospace applications[C].International Conference on Formal Methods and Models for Co-Design. ACM-IEEE , 2014.
- [16] HOQUE K A , MOHAMED O A , SAVARIA Y .Towards an accurate reliability , availability and maintainability analysis approach for satellite systems based on probabilistic model checking[C].Design, Automation & Test in Europe Conference & Exhibition.EDA Consortium , 2015.

(收稿日期 : 2020-05-12)

#### 作者简介 :

王鹏(1982-),男,硕士,研究员,主要研究方向:航空电子硬件安全性适航审定。



扫码下载电子文档

(上接第 91 页)

perspective-n-point problem[J].IEEE Transactions on Pattern Analysis and Machine Intelligence , 2012 , 34(7) : 1444–1450.

(收稿日期 : 2020-04-08)

#### 作者简介 :

李国强(1989-),男,硕士,工程师,主要研究方向:输电

线路运维、无人机巡检、图像识别。

彭炽刚(1963-),男,硕士,高级工程师,主要研究方向:电网调度、电网运行。

向东伟(1995-),通信作者,男,本科,工程师,主要研究方向:图像处理、三维渲染、点云数据处理、深度学习,E-mail: ssrs9503\_ssp@163.com。



扫码下载电子文档

## 版权声明

经作者授权，本论文版权和信息网络传播权归属于《电子技术应用》杂志，凡未经本刊书面同意任何机构、组织和个人不得擅自复印、汇编、翻译和进行信息网络传播。未经本刊书面同意，禁止一切互联网论文资源平台非法上传、收录本论文。

截至目前，本论文已经授权被中国期刊全文数据库（CNKI）、万方数据知识服务平台、中文科技期刊数据库（维普网）、DOAJ、美国《乌利希期刊指南》、JST 日本科技技术振兴机构数据库等数据库全文收录。

对于违反上述禁止行为并违法使用本论文的机构、组织和个人，本刊将采取一切必要法律行动来维护正当权益。

特此声明！

《电子技术应用》编辑部

中国电子信息产业集团有限公司第六研究所